

## РАСЧЕТ МОЛЕКУЛЯРНОГО ГЕНЕРАТОРА НА ПУЧКЕ МОЛЕКУЛ $ND_3$

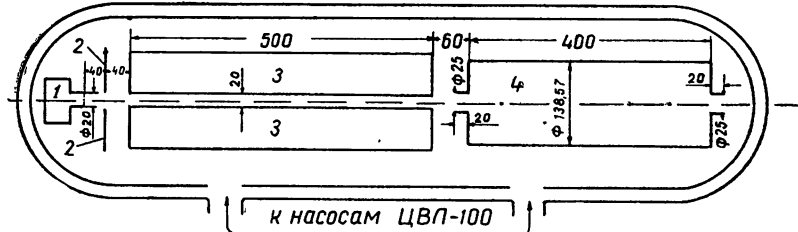
Н. Г. Басов, К. К. Свидзинский

Исследуется вопрос о возможности создания молекулярного генератора с использованием инверсионных переходов в пучке молекул тяжелого аммиака ( $ND_3$ ). Показана возможность создания такого генератора и приведен расчет основных его параметров.

Настоящая работа посвящена расчету молекулярного генератора, работающего на инверсионном переходе пучка молекул полностью дейтерированного аммиака ( $ND_3$ ). Такой генератор должен обладать достаточно высокой абсолютной стабильностью частоты ( $\sim 10^{-9}$ ) при мощности  $\sim 10^{-11} \text{ вт}$ .

В отличие от молекулярного генератора на пучке  $NH_3$ <sup>[1, 2]</sup> генератор на дейтерированном аммиаке будет работать в более удобном для преобразования частоты и усиления дециметровом диапазоне ( $\lambda \sim 18 \text{ см}$ ), и применение его в качестве источника высокостабильных колебаний позволит, по-видимому, существенно упростить схему эталона частоты (времени).

Кроме того, как и в случае обычного аммиака <sup>[2, 3]</sup>, молекулярный генератор можно использовать в качестве спектроскопа с очень высоким разрешением (порядка нескольких сот  $\text{гц}$ ) для изучения сверхтонкой структуры инверсионного спектра  $ND_3$ . Теоретический анализ сверхтонких взаимодействий в молекуле  $ND_3$  может быть проведен на основании теории сверхтонкой структуры спектра молекулы  $NH_3$ <sup>[4]</sup>.



Принципиальная схема молекулярного генератора на пучке  $ND_3$ :  
1 — источник пучка, 2 — холодная диафрагма, 3 — стержни квадрупольного конденсатора, 4 — резонатор.

Для получения пучка активных молекул  $ND_3$ , как в случае  $NH_3$ , применим метод сортировки с помощью квадрупольного конденсатора <sup>[5]</sup>. Поэтому молекулярный генератор на  $ND_3$  может быть построен и рассчитан по схеме молекулярного генератора на  $NH_3$ <sup>[1]</sup>. Принципиальная схема такого генератора с указанием основных размеров изображена на рис. 1.

Полностью дейтерированный аммиак имеет достаточно интенсивный инверсионный спектр, расположенный в диапазоне  $1600 - 2000 \text{ мгц}$  <sup>[6]</sup>. Одна из наиболее интенсивных линий этого спектра  $J=6, K=6$  имеет частоту  $v_{66} = 1656,18 \text{ мгц}$  ( $\lambda_{66} = 18,1139 \text{ см}$ ) <sup>[6]</sup>, где

$J$  — полный вращательный момент молекулы,  $K$  — проекция  $J$  на ось симметрии молекулы. Цилиндрический резонатор для возбуждения колебания типа  $E_{001}$ , настроенный на эту частоту ( $R_{\text{рез}}=6,927 \text{ см}$ ), при пропускании молекулярного пучка вдоль его оси обеспечивает минимальное допплеровское уширение линии [7].

Стабильность и условия самовозбуждения молекулярного генератора улучшаются при увеличении длины резонатора до тех пор, пока пролетная ширина линии превосходит допплеровскую. При длине резонатора  $l = 40 \text{ см}$  пролетная ширина линии  $\Delta v_t = \frac{1}{\tau} = 1,25 \text{ кг} \cdot \text{с}$  еще, по-видимому, превышает допплеровскую ширину. Здесь  $\tau = l/v$  — среднее время пролета молекул через резонатор,  $v = 5 \cdot 10^4 \text{ см/сек}$  — средняя скорость молекул в пучке.

Максимальный поток молекул в пучке, который можно получить от печи с решеткой радиуса  $R_n$ , равен [1]

$$N_n = \frac{\pi \bar{v} R_n}{4 \sqrt{2} \sigma} = 0,46 \cdot 10^{19} R_n \frac{\text{мол}}{\text{сек}},$$

где  $\sigma$  — поперечное сечение соударений молекулы  $ND_3$ , равное  $9,9 \cdot 10^{-15} \text{ см}^2$  [8].

Среди этих молекул в состоянии  $J=6, K=6$  на верхнем инверсионном уровне находится

$$N_{JKM_J} = 0,48 \cdot 10^{16} R_n \frac{\text{мол}}{\text{сек}},$$

где  $M_J$  — проекция момента  $J$  на направление электрического поля в квадрупольном конденсаторе. При вычислении  $N_{JKM_J}$  были использованы следующие численные значения параметров молекулы  $ND_3$  [9]: вращательные постоянные  $A = 3,15 \text{ см}^{-1}$ ,  $B = 5,138 \text{ см}^{-1}$ ; вращательная статистическая сумма с учетом инверсионного удвоения  $Q = 1,184 \cdot 10^3$ ; ядерный статистический вес  $q_J(K=6) = \frac{11}{9}$ ; вращательный статистический вес  $q_J(y=6, K=6) = 2$ .

Число молекул, отсортированных квадрупольным конденсатором, равно

$$(N_{JKM_J})_{\text{сорт}} = N_{JKM_J} \frac{W_m}{kT} \quad (W_m \ll kT), \quad (1)$$

где  $W_m$  — максимальное смещение инверсионного уровня молекулы в поле квадрупольного конденсатора,  $kT$  — средняя кинетическая энергия молекулы в пучке. Энергия штарковского взаимодействия молекулы

$$V_{\text{шт}} = Ed_0 \frac{KM_J}{J(J+1)},$$

где  $d_0 = 1,5 \text{ деб}$  — дипольный момент молекулы  $ND_3$  [10],  $E$  — напряженность электрического поля в квадрупольном конденсаторе. В случае, когда  $V_{\text{шт}}$  мало по сравнению с вращательной энергией молекулы, можно написать [8]

$$W_m = \delta(\sqrt{1+a^2} - 1), \quad (2)$$

где  $2\delta$  — энергия инверсионного расщепления уровней молекулы, а  $a = \frac{V_{\text{шт}}}{\delta}$ . Поскольку величина  $\delta$  у  $ND_3$  примерно в 16 раз меньше, чем у  $NH_3$ , то, согласно (1) и (2), для получения достаточно большого числа активных молекул в случае  $ND_3$  приходится пользоваться „сильными“ полями, при которых  $V_{\text{шт}}$  сравнимо с  $W_{\text{инв}}$ , т. е. когда условие  $a \ll 1$  (которое было выполнено в случае  $NH_3$ )

(„слабые поля“) [1]) более не выполняется. На квадрупольный конденсатор с радиусом  $R = 1 \text{ см}$  можно, по-видимому, подавать разность потенциалов  $U$  до 100 кв (в работе [1]  $R = 0,3 \text{ см}$ ,  $U \approx 40 \text{ кв}$ ) и создавать максимальную напряженность поля  $E_m = U/R = 100 \text{ кв/см}$ .

Мы проведем расчет генератора для  $U = 100$ , 60 и 40 кв, которым соответствуют значения параметра  $a$

$$a(U) = \frac{E_m d_0}{\delta} \frac{K M_J}{J(J+1)} = \frac{U}{7,3} M_J,$$

где  $U$  выражено в кв. При  $M_J = 1$  имеем:

$$a(100) = 13,8; a(60) = 8,2; a(40) = 5,5.$$

Такие значения параметра  $a$  соответствуют эффекту Штарка в „сильных“ и „средних“ полях квадрупольного конденсатора.

В случае произвольного значения  $a$  длину квадрупольного конденсатора  $L$  можно представить формулой

$$L = L_0 \beta(a),$$

где

$$L_0 = R(\pi/a) \sqrt{kT/2\delta}$$

есть длина конденсатора при  $a \ll 1$ ,

$$a \quad \beta(a) = \begin{cases} 1 + \frac{2}{\pi} \left[ \sqrt{2(a-1)} \arcsin \sqrt{\frac{2(a-1)}{2a-1}} \right] & \text{при } a > 1; \\ 1 & \text{при } a \ll 1. \end{cases}$$

Формула (3) точна в предельных случаях  $a \ll 1$  и  $a \gg 1$  и дает приближенные значения в промежуточных случаях. Для всех трех рассматриваемых напряжений  $U$  формула (3) дает численные значения  $L = 50 \div 60 \text{ см}$ .

Число молекул с данным значением  $|M_J|$ , которое отсортируется квадрупольным конденсатором, согласно (1) и (2), равно

$$N_{JK|M_J|} = 2N_{JKM_J} \frac{W_m(M_J)}{kT} = N_0 F(a, M_J),$$

где

$$F(a, M_J) = \frac{W_m(M_J)}{\delta} = \sqrt{1 + a^2 M_J^2} - 1,$$

$$N_0 = 2N_{JKM_J} \frac{\delta}{kT} = 1,3 \cdot 10^{12}$$

(радиус печи  $R_n$  положен равным радиусу конденсатора  $R = 1 \text{ см}$ ). При выбранном типе волн  $E_{001}$  направление электрического поля в резонаторе перпендикулярно направлению электрического поля в квадрупольном конденсаторе. Число молекул, имеющих данное значение  $|M'_J|$  проекции момента  $J$  на направление поля в резонаторе, равно

$$N_{JK|M'_J|} = \sum_{M_J=-J}^{M_J=J} a_{M_J M'_J}^2 N_{K|M_J|}.$$

Матрица  $a_{M_J M'_J}$ , соответствующая переходу от представления  $JKM_J$  к представлению  $JKM'_J$ , определяется системой уравнений [1]

$$\begin{aligned} & \frac{1}{2} \sqrt{(J+M'_J+1)(J-M'_J)} a_{M_J M'_J+1} + \\ & + \frac{1}{2} \sqrt{(J+M'_J)(J-M'_J+1)} a_{M_J M'_J-1} = M_J a_{M_J M'_J} \\ & (M_J M'_J = -J, -J+1, \dots, 0, \dots, J-1, J), \end{aligned}$$

решение которой может быть записано в общем виде с помощью цепных дробей. Для случая  $J=6$  численные значения коэффициентов  $a_{M_J M'_J}^2$ , нормированных на  $2^{2J}=4096 \left( \sum_{M_J M'_J=-J}^J a_{M_J M'_J}^2 = 2^{2J} \right)$ , пред-

ставлены в табл. 1. С помощью этих коэффициентов можно записать

$$N_{JK|M'_J} = N_0 \varphi(a, M'_J),$$

где

$$\varphi(a, M'_J) = 2 \sum_{M_J=1}^6 F(a, M_J) a_{M_J M'_J}^2.$$

Т а б л и ц а 1

$M_J$	$M'_J$	0	1	2	3	4	5	6
0	400	0	420	0	504	0	924	
1	0	400	40	360	192	264	792	
2	420	40	289	324	30	660	495	
3	0	360	324	4	480	660	220	
4	504	192	30	480	676	352	66	
5	0	264	660	660	352	100	12	
6	924	792	495	220	66	12	1	

Минимальная добротность резонатора  $Q_0$ , при которой выполняется условие самовозбуждения молекулярного генератора, определяется соотношением [1]

$$\frac{1}{Q_0} = \frac{4l}{R_{\text{pes}}^2 v^2 \hbar} \sum_{M'_J=1}^6 N_{JK|M'_J} |d_{JKM'_J}|^2,$$

где  $d_{JKM'_J}$  — матричный элемент дипольного момента, соответствующий переходу между нижним и верхним инверсионными состояниями молекулы.

$$|d_{JKM'_J}|^2 = d_0^2 \left[ \frac{KM'_J}{J(J+1)} \right]^2 = d_0^2 \chi_{M'_J}, \quad (5)$$

где  $\chi_{M'_J} = [KM'_J/J(J+1)]^2$ . С помощью (5) и (4) запишем

$$\frac{1}{Q_0} = \frac{4l d_0^2}{R_{\text{pes}}^2 v^2 \hbar} N_0 \Phi(a), \quad (6)$$

где

$$\Phi(a) = \sum_{M'_J=1}^6 \varphi(a, M'_J) \chi_{M'_J}.$$

Численные значения  $\Phi(a)$  для случая  $J=6$ ,  $K=6$  приведены в табл. 2. Там же приведены соответствующие значения  $Q_0$ .

Таблица 2

$U$ (кв)	$a$ ( $U$ )	$\Phi(a)$	$Q_0$	$P_0$ ( $\text{ват}$ )
100	13,7	60,1	4500	$9,8 \cdot 10^{-12}$
60	8,2	35,3	7600	$5,8 \cdot 10^{-12}$
40	5,5	23,3	11600	$3,7 \cdot 10^{-12}$

Считая электрическое поле в резонаторе  $E$  однородным, мощность излучения молекул в резонатор можно записать в виде

$$P = \frac{V}{8\pi} \frac{\omega}{Q} |E|^2, \quad (7)$$

где  $\omega$  — частота генерации,  $V$  — объем резонатора,  $Q$  — эффективная добротность резонатора с учетом потерь, обусловленных отводом мощности из резонатора. Амплитуду электрического поля  $|E|$  можно выразить через параметр насыщения

$$F = \frac{\tau^2 d_0^2}{\hbar^2} |E|^2, \quad (8)$$

который можно определить из соотношения [1]

$$\frac{1}{Q} = \frac{4ld_0^2}{R_{\text{рез}}^2 \hbar^2} \sum_{M'_J=1}^6 \frac{N_{JK|M'_J|} \chi_{M'_J}}{1 + \chi_{M'_J} F}.$$

Вводя обозначение

$$\eta_{M'_J} = \frac{N_{JK|M'_J|} \chi_{M'_J}}{\sum_{M'_J=1}^6 N_{JK|M'_J|} \chi_{M'_J}} = \frac{\varphi(a, M'_J) \chi_{M'_J}}{\Phi(a)}$$

и принимая во внимание (6), можно написать

$$\frac{Q_0}{Q} = \sum_{M'_J=1}^6 \frac{\eta_{M'_J}}{1 + \chi_{M'_J} F} \equiv f(F).$$

При оценке мощности генератора, как следует из численных расчетов, обратную функцию  $F = f^{-1}(Q_0/Q)$  можно представить в виде

$$F \approx 1,35 \left( \frac{Q}{Q_0} - 1 \right). \quad (9)$$

С помощью (7), (8), (9) и (6) получим

$$P = \left( 1 - \frac{Q_0}{Q} \right) P_0(a),$$

где

$$P_0(a) = 0,72 \Phi(a) \hbar \omega N_0.$$

Значения  $P_0(a)$  представлены в табл. 2.

## Л И Т Е Р А Т У Р А

1. Н. Г. Басов, Молекулярный генератор, Докторская диссертация, ФИАН, 1956.
2. J. P. Gordon, H. J. Zeiger, C. H. Townes, Phys. Rev., 1955, **99**, 1264.
3. J. P. Gordon, Phys. Rev., 1955, **99**, 1253.
4. G. R. Gunter-Mohr, C. H. Townes, J. H. Van Vleck, Phys. Rev., 1954, **94**, 1191.
5. H. G. Bennewitz, W. Paul, Zeit. f. Phys., 1954, **139**, 489.
6. R. G. Nuckolls, L. J. Rueger, H. Lyons, Phys. Rev., 1953, **89**, 1101.
7. Н. Г. Басов, А. М. Прохоров, ЖЭТФ, 1954, **27**, 431.
8. C. H. Townes, A. L. Schawlow, Microwave Spectroscopy, New York, 1955.
9. Г. Герцберг, Колебательные и врачаательные спектры многоатомных молекул, ИЛ, 1949.
10. Landolt-Börnstein, Zahlenwerte und Funktionen aus Physik, Chemie, Astronomie, Geophysik und Technik, 1, Tl. 3, Berlin, 1951.

Физический институт  
АН СССР

Поступила в редакцию  
10 ноября 1957 г.